

— Vibration Libres d'une Poutre en Flexion —

par

GAYE, Ibrahima

ZHANG, Xunjie

Compte-rendu du Ex.31 de l'UE Outil de Mathématique

fait le 29 octobre 2016

# Table des matières

<b>1</b>	<b>Introduction et Séparation des variables</b>	<b>4</b>
1.1	Introduction . . . . .	4
1.2	Séparation des variables . . . . .	4
1.2.1	Équation d'Équilibre . . . . .	4
1.2.2	Séparations . . . . .	4
1.3	Solution des fonctions . . . . .	5
1.3.1	équation différentielles ordinaires . . . . .	5
1.3.2	recherche la solution . . . . .	5
1.4	Solution finalement . . . . .	6
<b>2</b>	<b>Résolution dans le cas de la poutre encastrée-appuie</b>	<b>7</b>
2.1	conditons limites . . . . .	7
2.1.1	extrémité en appui simple à l'abscisse $x=L$ . . . . .	7
2.1.2	Encastrement à l'abscisse $x=0$ . . . . .	7
2.1.3	Résultat par les conditions limites . . . . .	8
2.2	Solution analyse . . . . .	8
2.3	Infinité de solutions . . . . .	8
2.4	Solution générale . . . . .	10
<b>3</b>	<b>Analyse et Résultat</b>	<b>11</b>
3.1	Premier condition . . . . .	11
3.1.1	serie de $F_r$ . . . . .	11
3.1.2	Transformé de Fourier . . . . .	11
3.2	Deuxième condition . . . . .	13
3.2.1	Dérivée partiel d'équation . . . . .	13
3.2.2	Nulle de derivation . . . . .	13
3.3	Solution complète . . . . .	13
<b>4</b>	<b>Prénsatations Graphiques</b>	<b>14</b>
4.1	Graphiques temps fixé . . . . .	14
4.1.1	Mode 1 ( $\gamma = \gamma_1$ ) . . . . .	14
4.1.2	Mode 2 ( $\gamma = \gamma_2$ ) . . . . .	15
4.1.3	$V(x,0)$ total pour $\gamma_1$ et $\gamma_2$ . . . . .	16
4.1.4	Mode 5 ( $\gamma = \gamma_5$ ) . . . . .	16
4.1.5	$V(x,0)$ total pour $\gamma_1, \gamma_2, \gamma_3, \gamma_4, \gamma_5$ . . . . .	17
4.2	Graphiques position fixé . . . . .	18
4.2.1	Model du temps . . . . .	18
4.2.2	Mode2 du temps . . . . .	19

4.2.3	Viration2 total du temps . . . . .	20
4.2.4	Viration5 total du temps . . . . .	21
<b>5</b>	<b>Conclusion</b>	<b>22</b>
<b>A</b>	<b>Code Python</b>	<b>23</b>
A.1	Listes des fonctions . . . . .	23
A.1.1	Paramètres du problème . . . . .	24
A.2	Étude pour N=5 . . . . .	24
A.2.1	Solution approchée pour N=5 . . . . .	24
A.2.2	Erreur relative pour N=5 . . . . .	25
A.3	Étude pour différents N . . . . .	25
A.3.1	Solutions Approchées pour différents N . . . . .	25
A.3.2	Erreur relative en fonction de h . . . . .	26
A.3.3	Erreur relative en fonction de N . . . . .	26
A.4	Étude de l'erreur relative en fonction du polynôme interpolation	27

# Table des figures

2.1	infinité points . . . . .	9
4.1	t=0 mode 1 . . . . .	15
4.2	t=0 mode 2 . . . . .	15
4.3	2 modes et vibrations . . . . .	16
4.4	t=0 mode 5 . . . . .	17
4.5	5 modes et vibrations . . . . .	17
4.6	mode1 du temps . . . . .	18
4.7	mode2 du temps . . . . .	19
4.8	vibration2 du temps . . . . .	20
4.9	vibration5 du temps . . . . .	21

# Chapitre 1

## Introduction et Séparation des variables

### 1.1 Introduction

On ne traitera que ici que le problème d'une poutre droite , de section uniforme , en flexion simple dans un plan principal . Ce pendant , le plus souvent , la poutre n'est pas contrainte à rester dans ce plan , et il existe une possibilité de déplacement dans la direction perpendiculaire . Si les excitations ne sont pas contenues dans un plan principal , il faut étudier les vibrations de flexion , dans les 2 plans principaux définis chacun par l'axe de la poutre et l'une des directions principales de la section .

### 1.2 Séparation des variables

#### 1.2.1 Équation d'Équilibre

Pour une poutre droite de section constante en flexion , et considérons un effort extérieur  $t_{ext}$  nul , on a l'équation :

$$\frac{\partial^2 v}{\partial t^2} = -\frac{El}{\rho S} \frac{\partial^4 v}{\partial x^4} \quad (1.1)$$

Posons :  $v(x, t) = \phi(x)q(t)$  et reportons cette expression dans l'équation du mouvement :

$$\phi \frac{d^2 q}{dt^2} = -\frac{El}{\rho S} \frac{d^4 \phi}{dx^4} q \quad (1.2)$$

#### 1.2.2 Séparations

Séparons les termes qui dépendent de  $t$  et de  $x$  :

$$\frac{1}{q} \frac{d^2 q}{dt^2} = -\frac{El}{\rho S} \frac{d^4 \phi}{dx^4} \frac{1}{\phi} \quad (1.3)$$

## 1.3 Solution des fonctions

Les 2 membres de cette équation sont indépendants l'un de  $x$ , l'autre de  $t$ ; ils sont donc constants. Pour que la solution  $q(t)$  reste bornée quand le temps tend vers l'infini, cette valeur constante doit être négative.

Trouver  $q(t)$  et  $\phi(x)$  quand  $-\omega^2$  est constant :

$$\frac{1}{q} \frac{d^2 q}{dt^2} = -\frac{El}{\rho S} \frac{d^4 \phi}{dx^4} \frac{1}{\phi} = -\omega^2 \quad (1.4)$$

### 1.3.1 équation différentielles ordinaires

On en tire 2 équations différentielles ordinaires, l'une en  $x$ , l'autre en  $t$ , que l'on résout séparément :

$$\begin{cases} \frac{d^4 \phi}{dx^4} - \omega^4 \frac{\rho S}{EI} \phi = 0 \\ \frac{d^2 q}{dt^2} + \omega^2 q = 0 \end{cases} \quad (1.5)$$

### 1.3.2 recherche la solution

On recherche la solution de l'équation sous la forme harmitienne suivante :  $\phi(x) = ae^{sx}$ , d'où l'équation caractéristique, de degré 4 en  $S$  :

$$s^4 - \omega^4 \frac{\rho S}{EI} = 0 \quad (1.6)$$

qui a solutions :

$$s = \pm \sqrt[4]{\frac{\rho S}{EI} \omega^2}, \quad s = \pm i \sqrt[4]{\frac{\rho S}{EI} \omega^2} \quad (1.7)$$

que l'on peut aussi écrire en fonction d'un paramètre  $\gamma$  sans dimension :

$$s = \pm \frac{\gamma}{L}, \quad s = \pm i \frac{\gamma}{L}, \quad \gamma = L \sqrt[4]{\frac{\rho S}{EI} \omega^2} \quad (1.8)$$

On en déduit l'expression de la forme modale :

$$\phi(x) = ae^{\gamma \frac{x}{L}} + be^{-\gamma \frac{x}{L}} + ce^{i\gamma \frac{x}{L}} + de^{-i\gamma \frac{x}{L}} \quad (1.9)$$

ou encore :

$$\phi(x) = A \sinh\left(\gamma \frac{x}{L}\right) + B \cosh\left(\gamma \frac{x}{L}\right) + C \sin\left(\gamma \frac{x}{L}\right) + D \cos\left(\gamma \frac{x}{L}\right) \quad (1.10)$$

On recherche l'autre solution de l'équation sous la forme harmitienne suivante :  $q(t) = ae^{bt}$ , d'où l'équation caractéristique, de degré 2 en  $t$  :

$$b^2 + \omega^2 = 0 \quad (1.11)$$

qui a 2 solutions :

$$b = \pm i\omega, \quad \omega = \frac{\gamma^2}{L^2} \sqrt{\frac{EI}{\rho S}} \quad (1.12)$$

Donc on en déduit l'expression de la forme modale :

$$q(t) = \hat{e}e^{i\omega t} + \hat{f}e^{-i\omega t} \quad (1.13)$$

Ou encore :

$$q(t) = E \sin \omega t + F \cos \omega t, \quad \omega = \frac{\gamma^2}{L^2} \sqrt{\frac{EI}{\rho S}} \quad (1.14)$$

## 1.4 Solution finalement

On obtient donc finalement :

$$v(x, t) = \phi(x)q(t) \quad (1.15)$$

avec :

$$\begin{cases} \phi(x) &= A \sinh(\gamma \frac{x}{L}) + B \cosh(\gamma \frac{x}{L}) + C \sin(\gamma \frac{x}{L}) + D \cos(\gamma \frac{x}{L}) \\ q(t) &= E \sin \omega t + F \cos \omega t \\ \omega &= \frac{\gamma^2}{L^2} \sqrt{\frac{EI}{\rho S}} \end{cases} \quad (1.16)$$

- $\phi(x)$  définit la forme de la poutre pendant sa vibration . Elle contient les 5 constantes  $A, B, C$  et  $\gamma$  (ou  $\omega$ ) , qui sont fixées par les conditions aux limites .
- $q(t)$  définit le mouvement de la poutre . Elle contient , outre la constante  $\omega$  déjà évoquée , les 2 constantes  $E$  et  $F$  , qui sont fixées par les conditions initiales .

## Chapitre 2

# Résolution dans le cas de la poutre encastree-appuie

### 2.1 conditions limites

Il existe 2 conditions aux limites usuelles pour une poutre en flexion :

#### 2.1.1 extrémité en appui simple à l'abscisse $x=L$

La flèche est nulle en tout instant , ainsi que le moment fléchissant :

$$\forall t \begin{cases} v(L, t) &= 0 \\ \frac{\partial^2 v}{\partial x^2}(L, t) &= 0 \end{cases} \quad (2.1)$$

On a :

$$\begin{cases} \phi(L) &= A \sinh \gamma + B \cosh \gamma + C \sin \gamma + D \cos \gamma = 0 \\ \frac{d^2 \phi}{dx^2}(L) &= \frac{\gamma^2}{L^2} A \sinh \gamma + B \frac{\gamma^2}{L^2} \cosh \gamma - C \frac{\gamma^2}{L^2} \sin \gamma - D \frac{\gamma^2}{L^2} \cos \gamma = 0 \end{cases} \quad (2.2)$$

Et on en déduit :

$$\begin{cases} A \sinh \gamma + B \cosh \gamma &= 0 \\ C \sin \gamma + D \cos \gamma &= 0 \end{cases} \quad (2.3)$$

#### 2.1.2 Encastrement à l'abscisse $x=0$

La flèche est nulle en tout instant , ainsi que la pente de la poutre :

$$\forall t \begin{cases} v(0, t) &= 0 \\ \frac{\partial v}{\partial x}(0, t) &= 0 \end{cases} \quad (2.4)$$

d'où , on a :

$$\begin{cases} \phi(0) &= B + D = 0 \\ \frac{d\phi}{dx}(0) &= A \frac{\gamma}{L} + C \frac{\gamma}{L} = 0 \end{cases} \quad (2.5)$$

On en déduit :



$$\begin{cases} A + C = 0 \\ B + D = 0 \end{cases} \quad (2.6)$$

### 2.1.3 Résultat par les conditions limites

On cherche solution pour les 4 équations :

$$\begin{cases} A \sinh \gamma + B \cosh \gamma = 0 \\ C \sin \gamma + D \cos \gamma = 0 \\ A + C = 0 \\ B + D = 0 \end{cases} \quad (2.7)$$

On trouve simplement :

$$\begin{cases} \tanh \gamma - \tan \gamma = 0 \\ B = -A \tanh \gamma = -A \tan \gamma \end{cases} \quad (2.8)$$

## 2.2 Solution analyse

On trouve la solution complète  $v(x, t) = \phi(x)q(t)$  :

$$v(x, t) = \left( A \sinh \left( \gamma \frac{x}{L} \right) + B \cosh \left( \gamma \frac{x}{L} \right) + C \sin \left( \gamma \frac{x}{L} \right) + D \cos \left( \gamma \frac{x}{L} \right) \right) \left( E \sin(\omega t) + F \cos(\omega t) \right) \quad (2.9)$$

$$= \left( A \sinh \left( \gamma \frac{x}{L} \right) - A \tanh \gamma \cosh \left( \gamma \frac{x}{L} \right) - A \sin \left( \gamma \frac{x}{L} \right) + A \tanh \gamma \cos \left( \gamma \frac{x}{L} \right) \right) \left( E \sin(\omega t) + F \cos(\omega t) \right) \quad (2.10)$$

$$= AE \sin(\omega t) \left( \sinh \left( \gamma \frac{x}{L} \right) - \tanh \gamma \cosh \left( \gamma \frac{x}{L} \right) - \sin \left( \gamma \frac{x}{L} \right) + \tanh \gamma \cos \left( \gamma \frac{x}{L} \right) \right) \quad (2.11)$$

$$+ AF \cos(\omega t) \left( \sinh \left( \gamma \frac{x}{L} \right) - \tanh \gamma \cosh \left( \gamma \frac{x}{L} \right) - \sin \left( \gamma \frac{x}{L} \right) + \tanh \gamma \cos \left( \gamma \frac{x}{L} \right) \right) \quad (2.12)$$

$$\omega = \frac{\gamma^2}{L^2} \sqrt{\frac{EI}{\rho S}} \quad (2.13)$$

## 2.3 Infinité de solutions

On écrit une programme pour trouver les r valeurs , ce que on noté  $\gamma_r$  , et un tracé graphique simple permet d'approcher les solutions . En effect , l'équation peut s'écrire :

$$\tanh \gamma = \tan \gamma \quad (2.14)$$

Les solutions sont données par les intersections des courbes  $\tanh \gamma$  et  $\tan \gamma$  :

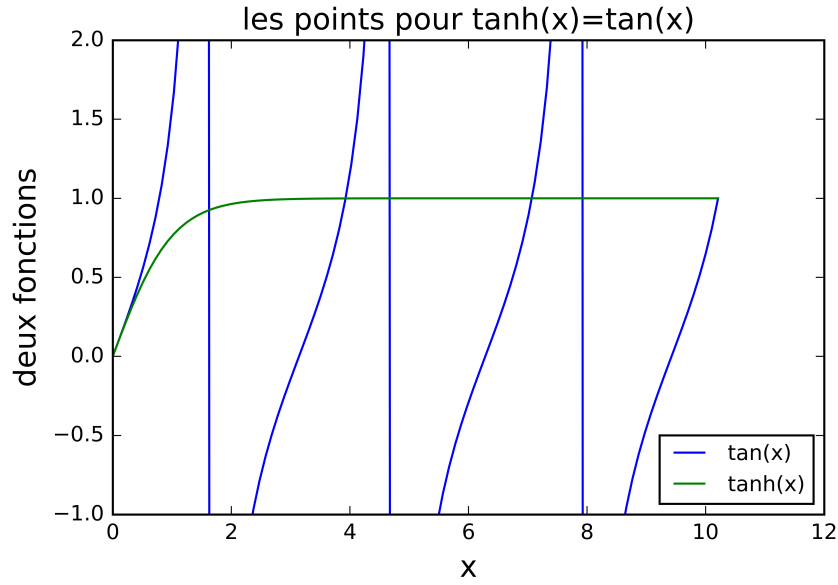


FIGURE 2.1 – infinité points

On constate qu'il existe une infinité de solutions, voisines de  $\frac{9\pi}{4}, \frac{13\pi}{4}, \frac{5\pi}{4}$ , etc.

Les valeurs précises peuvent être recherchées numériquement au voisinage de ces valeurs, au moyen d'un programme Matlab très bref :

for  $\gamma=1:4$ , fzero(@(gamma) tan(gamma)-tanh(gamma), (4\*r\*pi-1)/5

On obtient :

$$\gamma_1 = 3.927 \quad (2.15)$$

$$\gamma_2 = 7.069 \quad (2.16)$$

$$\gamma_3 = 10.210 \quad (2.17)$$

$$\gamma_4 = 13.351 \quad (2.18)$$

$$\gamma_5 = 16.493 \quad (2.19)$$

$$\gamma_6 = 19.634 \quad (2.20)$$

$$\gamma_7 = 22.776 \quad (2.21)$$

$$\gamma_8 = 25.918 \quad (2.22)$$

$$\gamma_9 = 29.059 \quad (2.23)$$

$$\gamma_{10} = 32.201 \quad (2.24)$$

$$\dots \quad (2.25)$$

$$\gamma_r = (4 * n * \pi - 1)/5 \quad (2.26)$$

A chaque solution  $\gamma_r$  correspond une valeur  $\omega_r$  de la pulsation :

$$\omega_r = \frac{\gamma_r^2}{L^2} \sqrt{\frac{EI}{\rho S}} \quad (2.27)$$

## 2.4 Solution générale

Finalement , la solution générale est :

$$v(x, t) = \sum_{r=1}^{\infty} \phi_r(x) (E_r \sin \omega t + F_r \cos \omega t) \quad (2.28)$$

avec :

$$\left\{ \begin{array}{lcl} \phi_r(x) & = & A \left( \sinh \left( \gamma_r \frac{x}{L} \right) - \tanh \gamma_r \cosh \left( \gamma_r \frac{x}{L} \right) - \sin \left( \gamma_r \frac{x}{L} \right) + \tanh \gamma_r \cos \left( \gamma_r \frac{x}{L} \right) \right) \\ \omega_r & = & \frac{\gamma_r^2}{L^2} \sqrt{\frac{EI}{\rho S}} \\ \tanh \gamma_r & = & \tan \gamma_r \\ r & = & 1, 2, 3, 4, \dots \end{array} \right. \quad (2.29)$$

## Chapitre 3

# Analyse et Résultat

Dans ce chapitre on étudie la solution complète avec les conditions initiales .

### 3.1 Premier condition

condition initiale  $v(x, 0) = v_0$

#### 3.1.1 serie de $F_r$

$$v(x, t) = \sum_{r=1}^{\infty} \phi_r(x) (E_r \sin \omega t + F_r \cos \omega t) \quad (3.1)$$

$$v(x, 0) = AF_r \left( \sinh \left( \gamma_r \frac{x}{L} \right) - \tanh \gamma_r \cosh \left( \gamma_r \frac{x}{L} \right) - \sin \left( \gamma_r \frac{x}{L} \right) + \tanh \gamma_r \cos \left( \gamma_r \frac{x}{L} \right) \right) \quad (3.2)$$

$$v(x, 0) = v_0 \quad (3.3)$$

il reste donc on cherche la serie de  $F_r$  dans la équation sommation suivante :

$$\sum_{r=1}^{\infty} AF_r \left( \sinh \left( \gamma_r \frac{x}{L} \right) - \tanh \gamma_r \cosh \left( \gamma_r \frac{x}{L} \right) - \sin \left( \gamma_r \frac{x}{L} \right) + \tanh \gamma_r \cos \left( \gamma_r \frac{x}{L} \right) \right) = v_0 \quad (3.4)$$

#### 3.1.2 Transformé de Fourier

On fait évolution de la fonction au-dessus , à gauche et à droite , on fait intergarale suivante en même temps :

$$\int_0^L \left( \sinh \left( \gamma_k \frac{x}{L} \right) - \tanh \gamma_k \cosh \left( \gamma_k \frac{x}{L} \right) - \sin \left( \gamma_k \frac{x}{L} \right) + \tanh \gamma_k \cos \left( \gamma_k \frac{x}{L} \right) \right) dx \quad (3.5)$$

$k$  est une constante.

et on obtient :

$$\sum_{r=1}^{\infty} \int_0^L AF_r \left( \sinh \left( \gamma_k \frac{x}{L} \right) - \tanh \gamma_k \cosh \left( \gamma_k \frac{x}{L} \right) - \sin \left( \gamma_k \frac{x}{L} \right) + \tanh \gamma_k \cos \left( \gamma_k \frac{x}{L} \right) \right) \quad (3.6)$$

$$\left( \sinh \left( \gamma_r \frac{x}{L} \right) - \tanh \gamma_r \cosh \left( \gamma_r \frac{x}{L} \right) - \sin \left( \gamma_r \frac{x}{L} \right) + \tanh \gamma_r \cos \left( \gamma_r \frac{x}{L} \right) \right) dx \quad (3.7)$$

$$= \int_0^L v_0 \left( \sinh \left( \gamma_k \frac{x}{L} \right) - \tanh \gamma_k \cosh \left( \gamma_k \frac{x}{L} \right) - \sin \left( \gamma_k \frac{x}{L} \right) + \tanh \gamma_k \cos \left( \gamma_k \frac{x}{L} \right) \right) dx \quad (3.8)$$

On étudie la fonction au dessus , on trouve si  $r$  est différent que  $k$  :

$$\int_0^L \left( \sinh \left( \gamma_k \frac{x}{L} \right) - \tanh \gamma_k \cosh \left( \gamma_k \frac{x}{L} \right) - \sin \left( \gamma_k \frac{x}{L} \right) + \tanh \gamma_k \cos \left( \gamma_k \frac{x}{L} \right) \right) \quad (3.9)$$

$$\left( \sinh \left( \gamma_r \frac{x}{L} \right) - \tanh \gamma_r \cosh \left( \gamma_r \frac{x}{L} \right) - \sin \left( \gamma_r \frac{x}{L} \right) + \tanh \gamma_r \cos \left( \gamma_r \frac{x}{L} \right) \right) dx = 0 \quad (3.10)$$

si  $r = k$  :

$$\int_0^L \left( \sinh \left( \gamma_k \frac{x}{L} \right) - \tanh \gamma_k \cosh \left( \gamma_k \frac{x}{L} \right) - \sin \left( \gamma_k \frac{x}{L} \right) + \tanh \gamma_k \cos \left( \gamma_k \frac{x}{L} \right) \right) \quad (3.11)$$

$$\left( \sinh \left( \gamma_r \frac{x}{L} \right) - \tanh \gamma_r \cosh \left( \gamma_r \frac{x}{L} \right) - \sin \left( \gamma_r \frac{x}{L} \right) + \tanh \gamma_r \cos \left( \gamma_r \frac{x}{L} \right) \right) dx = L \quad (3.12)$$

donc à gauche de signe égale , on a :  $ALF_k$   
et à droite de signe égale , on a :

$$\int_0^L v_0 \left( \sinh \left( \gamma_k \frac{x}{L} \right) - \tanh \gamma_k \cosh \left( \gamma_k \frac{x}{L} \right) - \sin \left( \gamma_k \frac{x}{L} \right) + \tanh \gamma_k \cos \left( \gamma_k \frac{x}{L} \right) \right) dx \quad (3.13)$$

$$= \frac{Lv_0 \left( \cos(\gamma_k) + \cosh(\gamma_k) + \tanh(\gamma_k)(\sin(\gamma_k) - \sinh(\gamma_k)) - 2 \right)}{\gamma_k} \quad (3.14)$$

et finalement on trouve  $F_k$  :

$$F_k = \frac{v_0}{A \gamma_k} \left( \cos(\gamma_k) + \cosh(\gamma_k) + \tanh(\gamma_k)(\sin(\gamma_k) - \sinh(\gamma_k)) - 2 \right) \quad (3.15)$$

$k$  et  $r$  sont constantes 1,2 ,3.....

$$F_r = \frac{v_0}{A \gamma_r} \left( \cos(\gamma_r) + \cosh(\gamma_r) + \tanh(\gamma_r)(\sin(\gamma_r) - \sinh(\gamma_r)) - 2 \right) \quad (3.16)$$

## 3.2 Deuxième condition

dans le deuxième condition on a  $\frac{\partial v(x,0)}{\partial t} = 0$

### 3.2.1 Dérivée partiel d'équation

On fait la dérivée partielle de  $v(x, t)$  sur  $t$

$$\frac{\partial v(x, t)}{\partial t} = AEw \cos(\omega t) \left( \sinh\left(\gamma \frac{x}{L}\right) - \tanh \gamma \cosh\left(\gamma \frac{x}{L}\right) - \sin\left(\gamma \frac{x}{L}\right) + \tanh \gamma \cos\left(\gamma \frac{x}{L}\right) \right) \quad (3.17)$$

$$- AFw \sin(\omega t) \left( \sinh\left(\gamma \frac{x}{L}\right) - \tanh \gamma \cosh\left(\gamma \frac{x}{L}\right) - \sin\left(\gamma \frac{x}{L}\right) + \tanh \gamma \cos\left(\gamma \frac{x}{L}\right) \right) \quad (3.18)$$

### 3.2.2 Nulle de derivation

On a toujours l'équation suivante :

$$\frac{\partial v(x, 0)}{\partial t} = AE_r \left( \sinh\left(\gamma_r \frac{x}{L}\right) - \tanh \gamma_r \cosh\left(\gamma_r \frac{x}{L}\right) - \sin\left(\gamma_r \frac{x}{L}\right) + \tanh \gamma_r \cos\left(\gamma_r \frac{x}{L}\right) \right) = 0 \quad (3.19)$$

Donc evidment ,  $E_r = 0$  pour tous les  $r$  .

## 3.3 Solution complète

Avec les conditions initiales on arrive :

$$\left\{ \begin{array}{lcl} v(x, t) & = & \sum_{r=1}^{\infty} AF_r \cos(\omega_r t) \left( \sinh\left(\gamma_r \frac{x}{L}\right) - \tanh \gamma_r \cosh\left(\gamma_r \frac{x}{L}\right) - \sin\left(\gamma_r \frac{x}{L}\right) + \tanh \gamma_r \cos\left(\gamma_r \frac{x}{L}\right) \right) \\ AF_r & = & \frac{v_0}{\gamma_r} \left( \cos(\gamma_r) + \cosh(\gamma_r) + \tanh(\gamma_r)(\sin(\gamma_r) - \sinh(\gamma_r)) - 2 \right) \\ \omega_r & = & \frac{\gamma_r^2}{L^2} \sqrt{\frac{EI}{\rho S}} \\ E_r & = & 0 \end{array} \right. \quad (3.20)$$

## Chapitre 4

# Présentations Graphiques

On utilise Jupyter Notebook pour présenter les graphiques : pour toutes les valeurs en bosoin , on note 1 ,

$$E = 1 \tag{4.1}$$

$$L = 1 \tag{4.2}$$

$$I = 1 \tag{4.3}$$

$$rho = 1 \tag{4.4}$$

$$S = 1 \tag{4.5}$$

### 4.1 Graphiques temps fixé

#### 4.1.1 Mode 1 ( $\gamma = \gamma_1$ )

$\gamma_1 = 3.927$  :

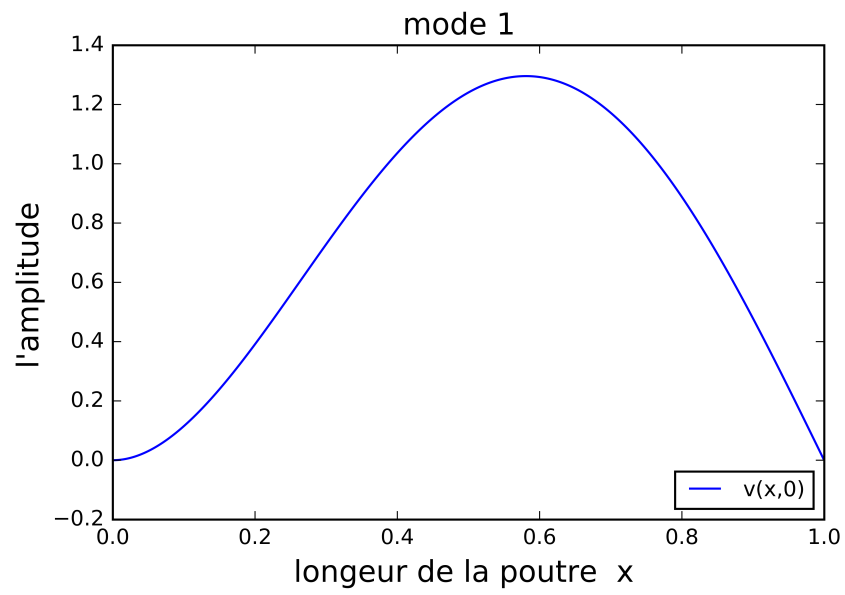


FIGURE 4.1 –  $t=0$  mode 1

#### 4.1.2 Mode 2 ( $\gamma = \gamma_2$ )

$\gamma_2 = 7.069$  :

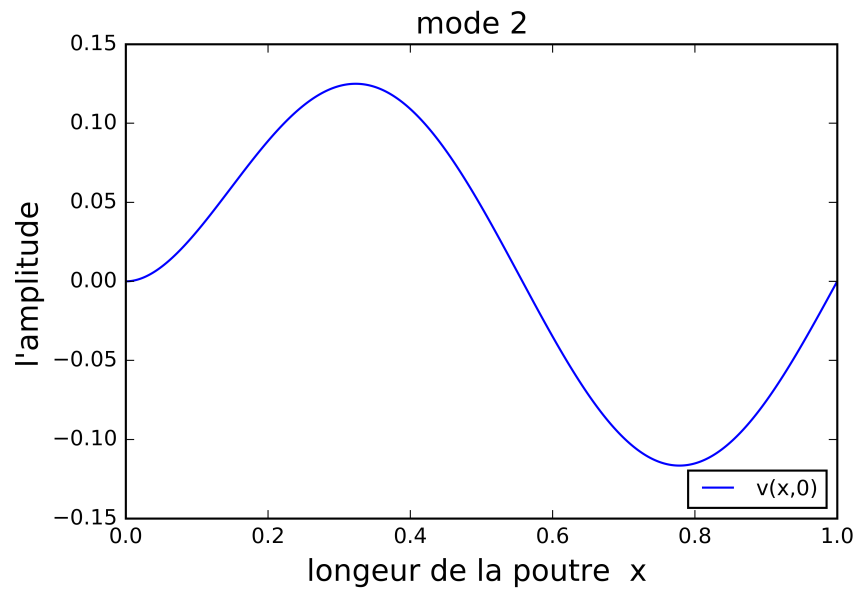


FIGURE 4.2 –  $t=0$  mode 2



#### 4.1.3 $V(x,0)$ total pour $\gamma_1$ et $\gamma_2$

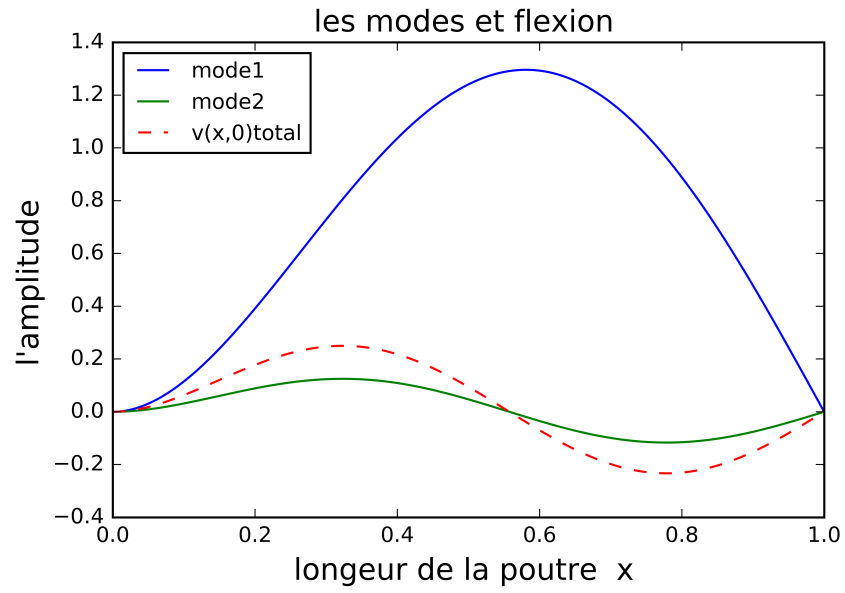


FIGURE 4.3 – 2 modes et vibrations

#### 4.1.4 Mode 5 ( $\gamma = \gamma_5$ )

$\gamma_5 = 16.493$  :

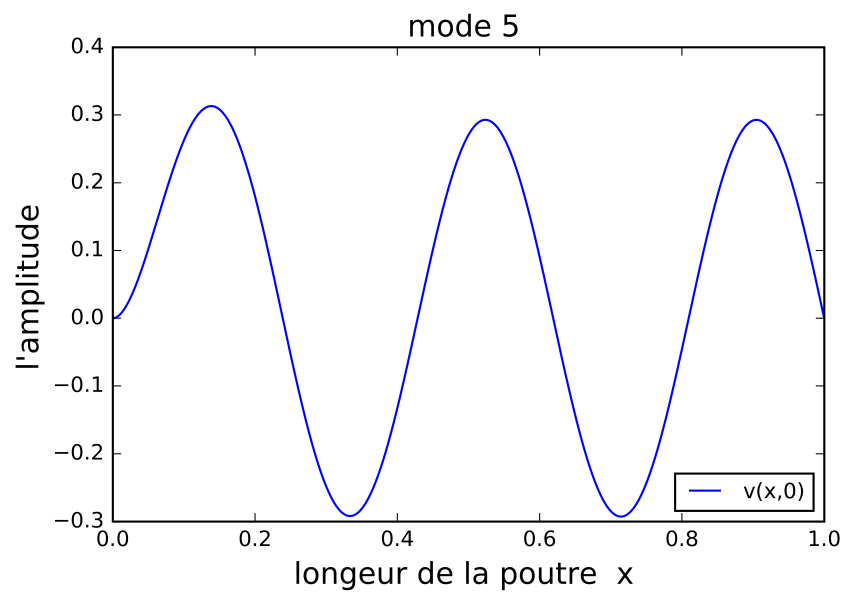


FIGURE 4.4 –  $t=0$  mode 5

#### 4.1.5 $V(x,0)$ total pour $\gamma_1, \gamma_2, \gamma_3, \gamma_4, \gamma_5$

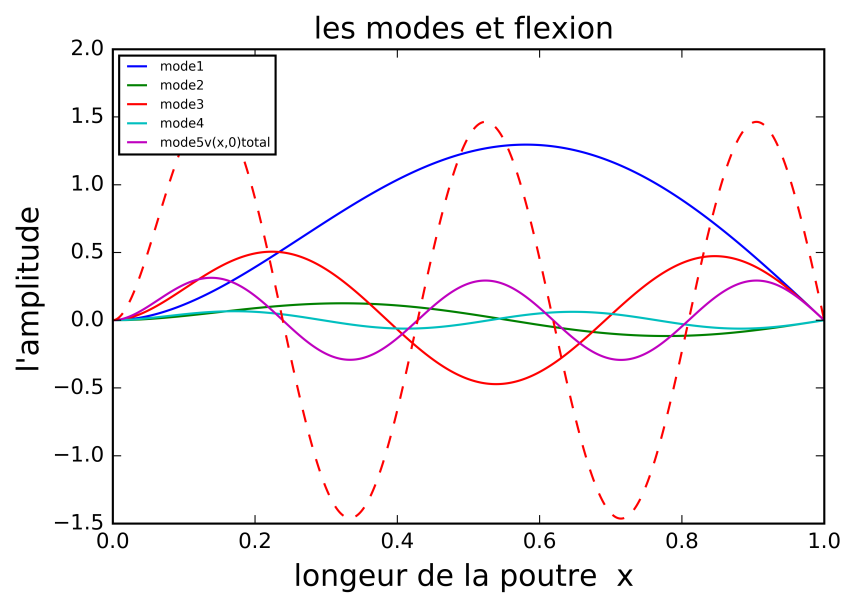


FIGURE 4.5 – 5 modes et vibrations

## 4.2 Graphiques position fixé

On choisi pa position milieu  $x = 0.5$  pour présenter :

### 4.2.1 Model du temps

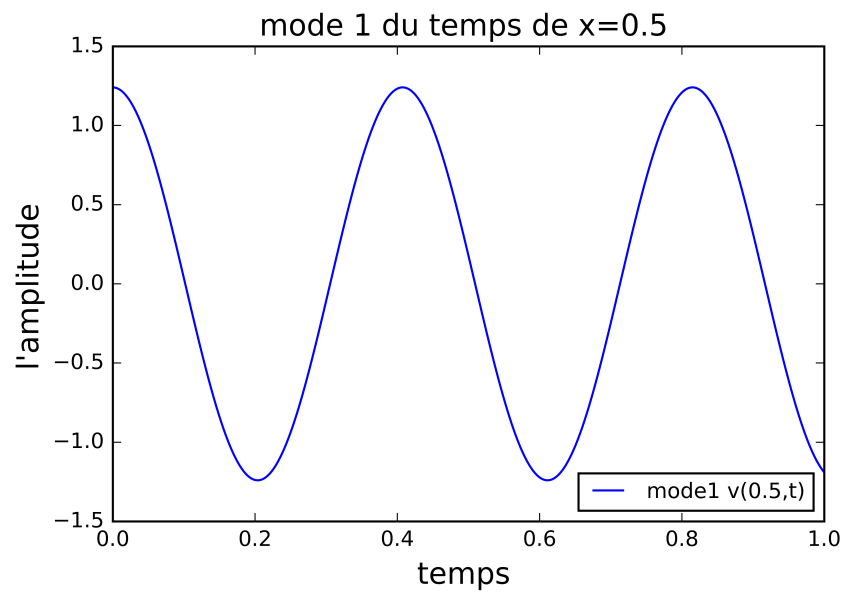


FIGURE 4.6 – mode1 du temps

#### 4.2.2 Mode2 du temps

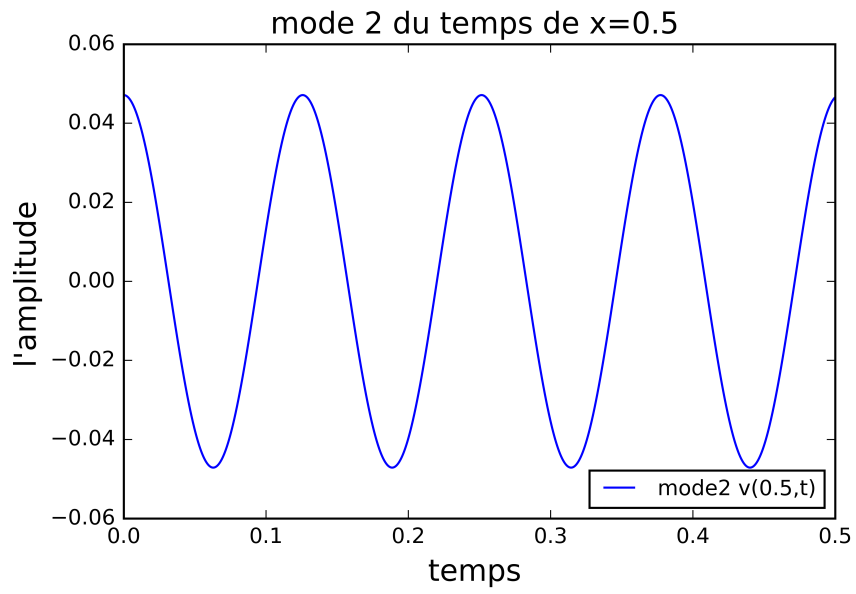


FIGURE 4.7 – mode2 du temps

### 4.2.3 Viration2 total du temps

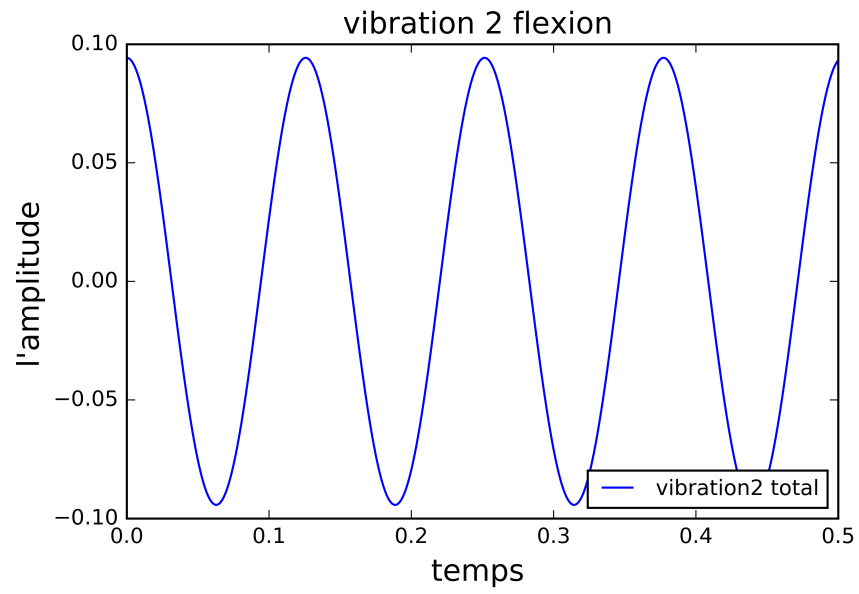


FIGURE 4.8 – vibration2 du temps

#### 4.2.4 Viration5 total du temps

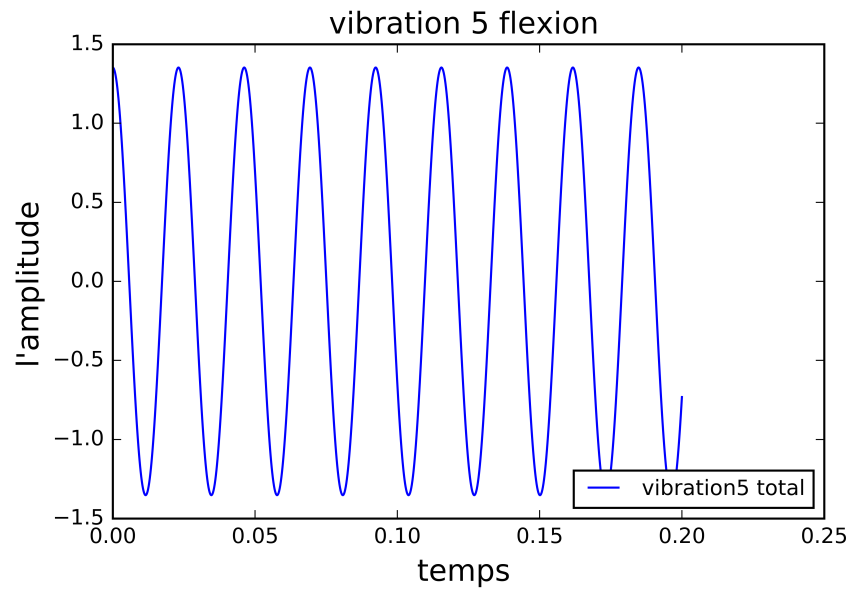


FIGURE 4.9 – vibration5 du temps

## Chapitre 5

# Conclusion

Dans ce

# Annexe A

## Code Python

### A.1 Listes des fonctions

---

```
def section(L,N,k,S0,SL): #Focion S(r)
    a=(SL-S0)/L
    b=S0
    return ((a*(L/N)*(k-1)+b)+a*(L/N)*k+b)/2

def matrixA(E,L,N,S0,SL): #Algorithme de construction de la Matrice A
    A=np.zeros((N+1,N+1))
    h=L/N
    S1=section(L,N,1,S0,SL)
    SN=section(L,N,N,S0,SL)
    A[0,0]= (E*S1)/h
    A[0,1]= -(E*S1)/h
    A[1,0]= -(E*S1)/h
    A[1,1]= (E*S1)/h
    i=1
    while i<N:
        S=section(L,N,i,S0,SL)
        A[i,i]=A[i,i]+(E*S)/h
        A[i,i+1]=-(E*S)/h
        A[i+1,i]=-(E*S)/h
        A[i+1,i+1]=(E*S)/h
        i=i+1
    return A

def vecteurB(rho,omega,N,S0,SL): #Algorithme de construction du vecteur
    B
    B=np.zeros(N+1)
    h=L/N
    S1=section(L,N,1,S0,SL)
    SN=section(L,N,N,S0,SL)
    R=1*L/N #k=0=0 donc r1
```



```

B[0]=rho*omega*omega*S1*h*(R/3)
B[1]=rho*omega*omega*S1*h*(R/6)
i=1
while i<N:
    R1=i*L/N
    R2=(i+1)*L/N
    S=section(L,N,i,S0,SL)
    B[i]=B[i]+rho*omega*omega*S*h*(R1/3+R2/6)
    B[i+1]=rho*omega*omega*S*h*(R1/3+R2/6)
    i=i+1
return B

def u2(E,L,rho,omega,N,S0,SL,r): #Solution analytique pour S variable.
a=(SL-S0)/L
b=S0
y=((omega**2*rho)/(36*E*a**3))*(a*r*(-4*a**2*r**2-3*a*b*r+6*b**2)
    -6*(b-2*a*L)*((a*L+b)**2)*np.log(a*r+b)+6*np.log(b)*(b-2*a*L)*(
    a*L+b)**2)
return y

```

---

### A.1.1 Paramètres du problème

```

#Paramettre du probleme:
S0=16.2
SL=6.7
L=51.5
err=0.076
rho=1600
E=21300*10**6
omega=2*np.pi
N=5 # Premiere etude avec N=5

```

---

## A.2 Étude pour N=5

### A.2.1 Solution approchée pour N=5

```

A=matrixA(E,L,N,S0,SL)
B=vecteurB(rho,omega,N,S0,SL)
#Condition limite:
A[0,0]=1
A[0,1]=0
B[0]=0
uh=np.linalg.solve(A,B) #Resolution du syteme : solution approchée pour N=5

x=np.linspace(0,L,100) #Axe horizontale pour la solution analytique
r=np.linspace(0,L,N+1) #Array avec tout les noeuds en fonction de N

```

```

u5=u2(E,L,rho,omega,N,S0,SL,x)

p1=plt.plot(r,u5,marker='o',label='Solution Approchee Uh')
plt.plot(x,u2(E,L,rho,omega,N,S0,SL,x),'r',label='Solution Analytique U
')
plt.legend(loc='lower right')
plt.xlabel('r',fontsize=12)
plt.ylabel('U & Uh',fontsize=12)
plt.title("Solutions Approchees & Analytique pour N="+str(N), fontsize
=14)
plt.savefig('D:\Google Drive — Mohamed\Cours\S1\Element Fini\TP 1\U Uh
N5.png',dpi=800)

```

---

## A.2.2 Erreur relative pour N=5

```

ur=u2(E,L,rho,omega,N,S0,SL,r) #On calcul les valeurs theoriques pour
différents noeuds (array "r")
error=np.absolute(ur-uh)/ur #formule pour chaque point

plt.plot(r,error*100,marker='o') #pourcentage
#plt.axhline(y=err*100, hold=None)
plt.ylabel('$\epsilon$ : erreur relative en $\%$',fontsize=12)
plt.xlabel('$h$',fontsize=12)
plt.title("Erreur relative a differents noeuds pour N="+str(N),
fontsize=14)
plt.savefig('D:\Google Drive — Mohamed\Cours\S1\Element Fini\TP 1\
Erreur relative N5.png',dpi=800)

```

---

## A.3 Étude pour différents N

### A.3.1 Solutions Approchées pour différents N

```

#Paramettre du probleme:
S0=16.2
SL=6.7
L=51.5
err=0.076
rho=1600
E=21300*10**6
omega=2*np.pi
Nmin=4 #nombre de noeud minimal
Nmax=20 #nombre de noeud maximal

for i in range (Nmin,Nmax+1,4):
    N=i
    x=np.linspace(0,L,100)
    r=np.linspace(0,L,N+1)

```

```

A=matrixA(E,L,N,S0,SL)
B=vecteurB(rho,omega,N,S0,SL)
#Condition limite:
A[0,0]=1
A[0,1]=0
B[0]=0
uh=np.linalg.solve(A,B)
plt.plot(r,uh,label='N='+str(N),)
plt.plot(x,u2(E,L,rho,omega,N,S0,SL,x),'k',label='Solution Analytique')
plt.legend(loc='lower right')
plt.xlabel('$r$', fontsize=12)
plt.ylabel('$u_{i}$', fontsize=12)
plt.title("Solutions Approchees & Analytique", fontsize=14)
plt.savefig('D:\Google Drive - Mohamed\Cours\S1\Element Fini\TP 1\
Solutions Approchees & Analytique.png',dpi=800)

```

---

### A.3.2 Erreur relative en fonction de h

```

error=np.zeros(Nmax)
H=np.zeros(Nmax)
for i in range (Nmin,Nmax):
    N=i
    h=L/N
    x=np.linspace(0,L,100)
    r=np.linspace(0,L,N+1)
    A=matrixA(E,L,N,S0,SL)
    B=vecteurB(rho,omega,N,S0,SL)
    #Condition limite:
    A[0,0]=1
    A[0,1]=0
    B[0]=0
    uh=np.linalg.solve(A,B)
    U=u2(E,L,rho,omega,N,S0,SL,r)
    error[i-Nmin]=(np.absolute(U[N]-uh[N])/U[N])
    H[i-Nmin]=h
plt.plot(H,error,label='$Err(h)$')
#plt.axhline(y=err, hold=None) #tracer ligne pour errmax
plt.ylabel('$\epsilon$ : erreur relative en $\%$ en fonction de N',
    fontsize=12)
plt.xlabel('h', fontsize=12)
plt.title("Erreur relative au noeud $r_{n}=L$", fontsize=14)
plt.savefig('D:\Google Drive - Mohamed\Cours\S1\Element Fini\TP 1\
Erreur relative fct de h.png',dpi=800)

```

---

### A.3.3 Erreur relative en fonction de N

```

plt.plot(L/H,error*100,label='$Err(N)$')

```

```
plt.ylabel('$\epsilon$ : erreur relative en $\%$ en fonction de N',  
          fontsize=12)  
plt.xlabel('N', fontsize=12)  
plt.title("Erreur relative au noeud $r_{n=L}$", fontsize=14)  
plt.savefig('D:\Google Drive — Mohamed\Cours\S1\Element Fini\TP 1\  
          Erreur relative fct de N.png', dpi=800)
```

---

## A.4 Étude de l'erreur relative en fonction du polynôme interpolation

---

---